



UNIVERSIDADE FEDERAL DO CEARÁ  
PROGRAMA DE PÓS-GRADUAÇÃO EM MODELAGEM E MÉTODOS  
QUANTITATIVOS  
OTIMIZAÇÃO NÃO-LINEAR

# PROJETO COMPUTACIONAL II

ISMAEL FERNANDES BRITO

**FORTALEZA - CE**  
**2022**

# 1 Fundamentos Teóricos dos Métodos

## 1.1 Método da Máxima Descida

O **método do gradiente** (ou **método da máxima descida**) é um método numérico usado em otimização. Para encontrar um mínimo (local) de uma função usa-se um esquema iterativo, onde em cada passo se toma a direção (negativa) do gradiente, que corresponde à direção de descida máximo. Pode ser encarado como o método seguido por um curso da água, na sua descida pela força da gravidade.

O método da Máxima Descida, também conhecido como *Steepest Descent Method*, é considerado um método básico em otimização irrestrita. Neste método, a direção de busca  $\mathbf{d}^k$  é dada pela direção contrária à direção do gradiente da função objetivo no ponto  $\mathbf{x}^k$ , ou seja, a direção de busca é a direção do anti-gradiente da função expressa por

$$\mathbf{d}^k = -\nabla f(\mathbf{x}^k).$$

Dessa forma, o método da máxima descida utiliza o procedimento iterativo  $\mathbf{x}^{k+1} = \mathbf{x}^k + \alpha^k \mathbf{d}^k$  com direção de busca e tamanho do passo  $\alpha^k$  que pode ser determinado por alguma estratégia de busca linear. O Algoritmo 1, a seguir, ilustra um possível algoritmo para o método da máxima descida.

---

**Algoritmo 1:** Algoritmo para o Método da Máxima Descida

---

**Dados**  $f(\mathbf{x})$  contínua e diferenciável com  $\mathbf{x} \in \mathbb{R}^n$  e um ponto inicial  $\mathbf{x}^0$

1: **Faça**  $k = 0$

2: **Enquanto**  $\nabla f(\mathbf{x}^k) \neq 0$ , **faça**

3:    $\mathbf{d}^k = -\nabla f(\mathbf{x}^k)$

4:   Obtenha  $\alpha^k > 0$  tal que  $f(\mathbf{x}^k + \alpha^k \mathbf{d}^k) < f(\mathbf{x}^k)$

5:    $\mathbf{x}^{k+1} = \mathbf{x}^k + \alpha^k \mathbf{d}^k$

6:    $k = k + 1$

7: **Retorne**  $\mathbf{x}^k$

---

## 1.2 Método de Newton

Agora, vamos considerar o problema de minimização irrestrita

$$\min f(x) \text{ e } x \in \mathbb{R}^n$$

em que  $f : \mathbb{R}^n \rightarrow \mathbb{R}$  é uma função de classe  $C^2$ . Os pontos estacionários desse problema são caracterizados pela equação  $\nabla f(x) = 0$ . Vamos aplicar a relação  $F(\bar{x}) + J_F(x - \bar{x}) = 0$  para  $F : \mathbb{R}^n \rightarrow \mathbb{R}^n$  dada por

$$F(x) = \nabla f(x).$$

Seja  $x_k \in \mathbb{R}^n$  uma aproximação de um ponto estacionário  $\bar{x}$  do problema. A aproximação seguinte  $x_{k+1}$  é computada como solução do sistema de equações lineares

$$\nabla f(x_k) + \nabla^2 f(x_k)(x - x_k) = 0$$

em relação a  $x \in \mathbb{R}^n$ . Supondo que  $\nabla^2 f(x_k)$  seja não-singular para todo  $k \in \mathbb{N}$ , obtemos o seguinte esquema iterativo:

$$x_{k+1} = x_k - \alpha_k (\nabla^2 f(x_k))^{-1} \nabla f(x_k), k = 0, 1, \dots$$

Assim, pode-se formalizar o algoritmo do método de Newton para minimizar uma função com tamanho de passo variável ( $\alpha_k > 0$ ) da seguinte forma

---

**Algoritmo 2:** Algoritmo do método de Newton

---

**Dado:**  $x_0 \in \mathbb{R}^n$

$k = 0$

**REPITA** enquanto  $\nabla f(\mathbf{x}_k) \neq 0$

Defina  $d_k = -(\nabla^2 f(x_k))^{-1} \nabla f(x_k)$

Determine o tamanho do passo  $\alpha_k > 0$

Faça  $x_{k+1} = x_k + \alpha_k d_k$

$k = k + 1$

---

### 1.3 Método Quasi-Newton

O custo computacional elevado do método de Newton se deve à avaliação e uso da matriz Hessiana de  $f$ . A ideia por trás do método Quasi-Newton é realizar uma aproximação iterativa da inversa da matriz Hessiana.

O método Quasi-Newton utilizam o procedimento iterativo  $\mathbf{x}^{k+1} = \mathbf{x}^k + \alpha^k \mathbf{d}^k$  com direção de busca dada por

$$\mathbf{d}^k = -\mathbf{B}_k \nabla f(\mathbf{x}^k),$$

em que  $\mathbf{B}_k$  é uma matriz simétrica definida positiva. Note que, se  $\mathbf{B}_k = I_n$  ( $I_n$  é a matriz identidade de ordem  $n$  por  $n$ ), a direção de busca  $\mathbf{d}^k$  do método Quasi-Newton se transforma na direção do método da máxima descida e, se  $\mathbf{B}_k = [\nabla^2 f(\mathbf{x}^k)]^{-1}$ , a direção de busca se transforma na direção do método de Newton.

O método Quasi-Newton diferem entre si na forma como as atualizações da matriz  $\mathbf{B}_k$  são realizadas. Essa matriz deve se aproximar da inversa da matriz Hessiana de  $f$  a cada iteração  $k$ . Logo, dados

$$\mathbf{r}^k = \mathbf{x}^{k+1} - \mathbf{x}^k,$$

e

$$\mathbf{s}^k = \nabla f(\mathbf{x}^{k+1}) - \nabla f(\mathbf{x}^k),$$

a matriz  $\mathbf{B}_k$  pode ser atualizada pela expressão

$$\mathbf{B}_{k+1} = \mathbf{B}_k + \frac{\mathbf{r}^k (\mathbf{r}^k)^T}{(\mathbf{r}^k)^T \mathbf{s}^k} - \frac{\mathbf{B}_k \mathbf{s}^k (\mathbf{B}_k \mathbf{s}^k)^T}{(\mathbf{s}^k)^T \mathbf{B}_k \mathbf{s}^k} + c (\mathbf{s}^k)^T \mathbf{B}_k \mathbf{s}^k \mathbf{v}^k (\mathbf{v}^k)^T,$$

com

$$\mathbf{v}^k = \frac{\mathbf{r}^k}{(\mathbf{r}^k)^T \mathbf{s}^k} - \frac{\mathbf{B}_k \mathbf{s}^k}{(\mathbf{s}^k)^T \mathbf{B}_k \mathbf{s}^k}$$

Para  $c = 0$  na expressão de cima, tem-se a fórmula de Davidson-Fletcher-Powell (DFP).

Dessa forma, o procedimento iterativo com a direção de busca requer, além do ponto inicial  $\mathbf{x}^k$ , uma matriz  $\mathbf{B}_0$  simétrica positiva. Em geral, toma-se  $\mathbf{B}_0 = I_n$ . Para completar o esquema iterativo, o tamanho do passo  $\alpha^k$  deve ser obtido por uma técnica de busca linear exata ou inexata.

---

**Algoritmo 3:** Método de Davidon - Fletcher - Powell (DFP)

---

Escolha  $\epsilon > 0$ ,  $x^0$  e  $H_0 = H_0^T$ . Calcule  $g^0 = \nabla f(x^0)$  e faça  $k = 0$

**while**  $\|g^0\| \geq \epsilon$

$d^k = -H_k g^0$

$\alpha_k = \arg \min_{\alpha \geq 0} f(x^k + \alpha d^k)$

$x^{k+1} = x^k + \alpha_k d^k$

**if**  $k < n - 1$  **then**

$g^{k+1} = \nabla f(x^{k+1})$

$q^k = g^{k+1} - g^k, p^k = \alpha_k d^k$

$H_{k+1} = H_k - \frac{p^k (p^k)^T}{(p^k)^T q^k} - \frac{H_k q^k (q^k)^T H_k}{(q^k)^T H_k q^k}$

$k = k + 1$

**else**

$x^0 = x^n, g^0 = \nabla f(x^0), k = 0$

**end**

**end**

---

## 1.4 Método do Gradiente Conjugado

O método do gradiente conjugado foi desenvolvido com o objetivo de acelerar a taxa de convergência do método da máxima descida e, ao mesmo tempo, evitar o alto custo computacional do método de Newton. Tal como o método de Newton, o método do gradiente conjugado foi desenvolvido para obter soluções exatas em um número finito de iterações quando a função objetivo é quadrática, com matriz  $\mathbf{A}$  simétrica definida positiva.

Inicialmente, considere o método das direções conjugadas para a minimização de uma função quadrática, com matriz  $\mathbf{A}$  simétrica definida. Este método constrói um conjunto de  $n$  direções  $\{\mathbf{d}^0, \dots, \mathbf{d}^{n-1}\}$   $\mathbf{A}$ -ortogonais, ou seja, direções conjugadas com respeito à matriz  $\mathbf{A}$  em que

$$(\mathbf{d}^i)^T \mathbf{A} \mathbf{d}^j = 0, \forall i \neq j.$$

Para qualquer matriz  $\mathbf{A}$  de ordem  $n \times n$  simétrica positiva definida, qualquer conjunto de direções  $\mathbf{A}$ -ortogonais é linearmente independente. O método do gradiente conjugado, por sua vez, é o método das direções conjugadas em que as direções de busca correspondem a uma versão conjugada dos sucessivos gradientes obtidos ao longo do procedimento iterativo. Logo, considere o procedimento iterativo  $\mathbf{x}^{k+1} = \mathbf{x}^k + \alpha^k \mathbf{d}^k$  e um ponto inicial  $\mathbf{x}^0 \in \mathbb{R}^n$ . As direções de busca do método do gradiente conjugado são obtidas por

$$\mathbf{d}^0 = -\nabla f(\mathbf{x}^0),$$

e

$$\mathbf{d}^k = -\nabla f(\mathbf{x}^k) + \delta^{k-1} \mathbf{d}^{k-1}, k > 0,$$

com

$$\delta^{k-1} = \frac{\mathbf{g}^{kT} \mathbf{A} \mathbf{d}^{k-1}}{\mathbf{d}^{k-1T} \mathbf{A} \mathbf{d}^{k-1}}$$

onde  $\mathbf{g}^k = \nabla f(\mathbf{x}^k)$ .

Note que, a primeira direção de busca é a direção de máxima descida. Em todas as demais iterações, a direção de busca será a soma da direção contrária à direção do vetor gradiente no ponto atual com a combinação linear das direções de busca anteriores. O Algoritmo 2 do método do gradiente conjugado para funções não-lineares, a seguir, ilustra um possível algoritmo para o método do gradiente conjugado.

---

**Algoritmo 4:** Método de Fletcher-Reeves

---

Escolha  $\epsilon > 0$  e  $x^0$ . Calcule  $g^0 = \nabla f(x^0)$   
**while**  $\|g^0\| \geq \epsilon$   
     $d^0 = -g^0$   
    **for**  $k = 0 : n - 1$   
         $\alpha_k = \arg \min_{\alpha \geq 0} f(x^k + \alpha d^k)$   
         $x^{k+1} = x^k + \alpha_k d^k, g^{k+1} = \nabla f(x^{k+1})$   
        **if**  $k < n - 1$  **then**  
             $\beta_k = \frac{(g^{k+1})^T g^{k+1}}{(g^k)^T g^k}$   
             $d^{k+1} = -g^{k+1} + \beta_k d^k$   
        **end**  
    **end**  
     $x^0 = x^n, g^0 = \nabla f(x^0)$   
**end**  
 $x^* = x^0$ 

---

## 1.5 Método de Polak-Ribière (PR)

As derivações das equações anteriores foram feitas supondo que estamos tratando de problemas quadráticos, o que nem sempre é verdade. Para que possamos adaptar as equações anteriores a problemas não-quadráticos, a matriz  $\mathbb{A}$  deve ser aproximada pela matriz hessiana calculado no ponto  $x_i$ . A aplicação destes algoritmos a problemas não quadráticos envolve um procedimento de busca unidimensional do passo de ajuste (taxa de aprendizagem) e a aproximação do parâmetro  $\delta$  utilizando informações de primeira ordem (gradientes).

Uma destas aproximações é dada pelo método de Polak-Ribière. O algoritmo para este método torna-se então:

---

**Algoritmo 5:** Método de Polak-Ribière

---

1. Atribua um valor inicial  $x^0 \in \mathbb{R}$  para o vetor de parâmetros e um valor arbitrariamente pequeno para a constante  $\epsilon > 0$ .
  2. Calcule  $\nabla f(x^0)$ , faça  $d^0 = -\nabla f(x^0)$
  3. Enquanto a condição de parada não for satisfeita, faça:
    - 3.1. Utilize um procedimento de busca unidimensional para encontrar um  $\alpha_k$  que seja solução ótima do problema  $\min f(x^k + \alpha_k d^k)$  e faça  $x^{k+1} = x^k + \alpha_k d^k$  e  $\alpha_k \in (0, 1]$
    - 3.2. Calcule  $g^k = -\nabla f(x^k)$
    - 3.3. Se  $(k < n - 1)$ , faça  $d^{k+1} = g^k + \beta_k d^k$ , onde  $\beta_k = \frac{(g^{k+1})^T (g^{k+1} - g^k)}{(g^k)^T g^k}$
    - 3.4. Senão, faça:  $d^k = g^k$
    - 3.5. Faça  $k = k + 1$
- 

## 1.6 Região de Confiança

Considere o seguinte problema de programação diferenciável não linear sem restrições:

$$(P) = \begin{cases} \min f(x) \\ x \in \mathbb{R}^n \end{cases}$$

onde  $f : \mathbb{R}^n \mapsto \mathbb{R}$  é de classe  $C^2(\mathbb{R}^n)$ . Observação: Como  $f$  não é necessariamente convexa, a matriz  $\nabla^2 f(x)$  pode não ser definida positiva, apesar de ser simétrica. Neste caso, o método de Newton ou suas variantes (direções conjugadas, quasi Newton, etc) não servem.

O objetivo principal do método de região de confiança é resolver o problema  $(P)$ . É um método iterativo que gera uma sequência  $\{x_k\}_{k \in \mathbb{N}}$  convergindo para um minimizador local de  $f$ .

Em cada iteração é construído um modelo quadrático de  $f$  e minimiza-se este modelo em uma região, daí o nome *região de confiança*. Dependendo do resultado obtido com esta minimização, algumas decisões são tomadas:

- aceitar ou não o minimizador como um novo ponto (uma nova iterada);
- aumentar, reduzir, ou deixar inalterada a região de confiança.

Antes de iniciar o algoritmo, algumas informações precisam ser fornecidas:

- a função  $f : \mathbb{R}^n \rightarrow \mathbb{R}$ ;
- ponto inicial  $x_0$ ;
- o raio da região de confiança  $\Delta_0$ ;

Em cada iteração  $x_k$ , construímos um modelo quadrático  $m_k(p)$ , esperando que este modelo seja uma boa representação da variação de  $f$  na vizinhança de  $x_k$ , e resolvemos o problema (P).

O método de região de confiança será uma generalização da busca de Armijo, consistindo da construção de um modelo quadrático e uma região  $R$ , chamada de região de confiança, e nessa região calcular o novo iterando.

---

**Algoritmo 6:** Método de Região de Confiança

---

**Entrada:** função  $f : \mathbb{R}^n \rightarrow \mathbb{R}$ , raio da bola  $\Delta_0$ , raio máximo  $\bar{\Delta}$ ,  $\epsilon, \eta \in [0, \frac{1}{4})$ , ponto inicial  $x_0$

**Saída:** minimizador  $x^*$

1:  $curv \leftarrow \Delta f(x_k)^T B \Delta f(x_k)$

2: **se**  $curv \leq 0$  **então**

3:  $pd \leftarrow -\Delta \frac{\nabla f(x_k)}{\|\nabla f(x_k)\|}$

4: **senão**

5:  $p^C \leftarrow -\frac{\nabla f(x_k)^T \nabla f(x_k)}{curv} \nabla f(x_k)$

6: **se**  $\|p^C\| \geq \Delta$  **então**

7:  $pd \leftarrow -\Delta \frac{\nabla f(x_k)}{\|\nabla f(x_k)\|}$

8: **senão**

9: **se**  $B \neq 0$  **então**

10: Informar que  $B$  não é definida positiva.

11:  $pd \leftarrow p^C$

12: **senão**

13:  $p^N \leftarrow -B^{-1} \Delta f(x_k)$

14: **se**  $\|p^N\| \leq \Delta$  **então**

15:  $pd \leftarrow p^N$

16: **senão**

17:  $\lambda \leftarrow \frac{-2p^{CT}(p^N - p^C) + \sqrt{(2p^{CT}(p^N - p^C))^2 - 4\|p^N - p^C\|^2(\|p^C\|^2 - \Delta^2)}}{2\|p^N - p^C\|^2}$

18:  $pd \leftarrow p^C + \lambda(p^N - p^C)$

19: **fim**

20: **fim**

21: **fim**

22: **fim**

---

---

**Algoritmo 7:** Método Dogleg

---

**Entrada:** matriz  $B(n \times n)$  positiva definida, vetor  $\nabla f(x_k)(n \times 1)$ , raio da bola  $\Delta$

**Saída:** passo do dogleg  $pd$  ( $n \times 1$ )

1:  $k \leftarrow 0$

2: Calcular  $\nabla f(x_k)$  e  $B_k = \nabla^2 f(x_k)$

3: **enquanto**  $\|\nabla f(x_k)\| > \epsilon$  **faça**

4:    $p_k \leftarrow$  solução de minimizar  $m_k(p) = p^T \nabla f(x_k) + \frac{1}{2} p^T B_k p$  sujeito a  $\|p\| \leq \Delta_k$

5:    $\rho_k \leftarrow \frac{ared}{pred} = \frac{f(x_k) - f(x_k + p_k)}{-m_k(p_k)}$

6:   **se**  $\rho_k < \frac{1}{4}$  **então**

7:      $\Delta_{k+1} \leftarrow \frac{1}{4} \|p_k\|$

8:   **senão**

9:     **se**  $\rho_k > \frac{3}{4}$  e  $\|p_k\| = \Delta_k$  **então**

10:        $\Delta_{k+1} \leftarrow \min(2\Delta_k, \Delta)$

11:   **senão**

12:      $\Delta_{k+1} \leftarrow \Delta_k$

13:   **fim**

14: **fim**

15: **se**  $\rho_k > \eta$  **então**

16:    $x_{k+1} \leftarrow x_k + p_k$

17:   Calcular  $\Delta f(x_{k+1})$  e  $B_{k+1} = \Delta^2 f(x_{k+1})$

18: **senão**

19:    $x_{k+1} \leftarrow x_k$

20: **fim**

21:  $k \leftarrow k + 1$

22: **fim**

23:  $x^* \leftarrow x_k$ 

---

## 2 Manual de utilização dos métodos no Octave

O GNU Octave é uma linguagem de alto nível, destinada principalmente a cálculos numéricos. Ele fornece uma interface de linha de comando conveniente para resolver problemas lineares e não lineares numericamente usando uma linguagem que é principalmente compatível com o Matlab.

A motivação original para escrever o Octave era fornecer um software para acompanhar um livro de graduação em engenharia química (Análise de Reatores Químicos e Designs Fundamentais, em inglês - Chemical Reactor Analysis and Design Fundamentals, publicado em 2002 e escrito por Jim Rawlings e John Ekerdt). No entanto, Octave evoluiu, com o tempo, tornando-se uma ferramenta útil para a área de computação numérica e de construção de gráficos, as quais são usadas para uma grande variedade de tarefas (EATON, 2020).

O Octave, além disso, é uma plataforma livre desenvolvida por uma comunidade de usuários, ou seja, é distribuída sob termos que garantem certas liberdades para seus usuários, como a liberdade de executar, copiar, distribuir, estudar, alterar e melhorar a plataforma (EATON, 2020).

As funções, bem como o vetor gradiente e também a matriz hessiana no pontos iniciais foram armazenadas em arquivo texto padrão do Matlab/Octave com o nome de "funcoes.m" que deve ser carregado na memória antes de fazer a chamada dos métodos computacionais. Neste arquivo contém todas as 5 funções pedidas que foram criadas como f1, f2, f7, f8 e f9 juntamente com as seus respectivos vetores gradientes criadas como df1, df2, df7, df8 e df9 que serão utilizadas nos métodos e também os vetores de entrada  $x^{(1)}$  foram criados como f1x1, f2x1, f7x1, f8x1 e f9x1 e para o  $x^{(2)}$  foram criados como f1x2, f2x2, f7x2, f8x2 e f9x2 que serão utilizados nos métodos.

Outra entrada utilizada será a informação do intervalo de incerteza (0,1) que será utilizada no método da razão áurea como vetor linha da seguinte forma [0 1] que será calculado para encontrar o tamanho do passo  $\alpha_k$  a ser utilizado nos métodos. Em todos os métodos tem um parâmetro  $nmax$

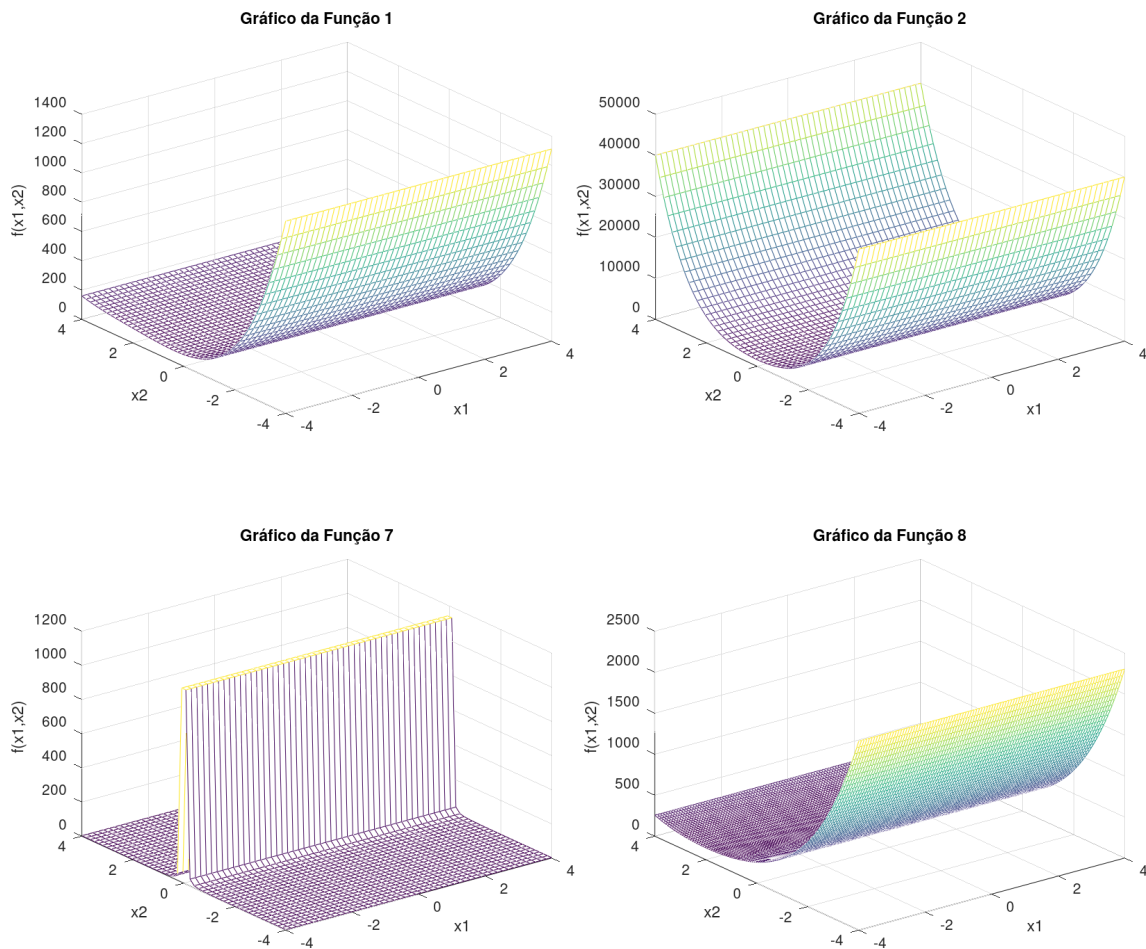
que significa o número máximo de iterações e o parâmetro *tol* que significa o valor da precisão utilizado pelos métodos.

Em geral a sintaxe para executar os métodos computacionais utiliza-se o shell do Octave da seguinte forma: "nome-metodo(parametros)". A saída será o valor do número de iterações  $k$  até o método convergir ou ser parado pelo número máximo de iterações  $nmax$ , e de  $xmin$  para o valor de  $x_{min}$ , o valor de  $fval$  para  $f(x_{min})$ . Já para o método da razão aurea foi feito uma chamada dentro de cada método que utiliza esse parâmetro e a saída será  $alphak$  para o valor de  $\alpha_k$ .

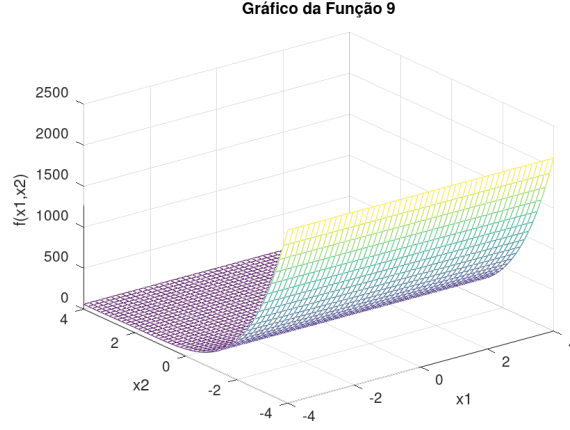
Por fim, todos os métodos foram implementados como funções e salvas com extensão ".m" que é o padrão do Octave. Os arquivos dos mesmos irão junto com este trabalho. Também será produzido um vídeo explicativo de como pode ser feito as execuções dos métodos.

## 3 Resultados dos Experimentos

### 3.1 Gráficos das Funções







### 3.2 Funções Utilizadas nos Testes

\*  $f_1(\mathbf{x}) = (x_1 - 2)^2 + (x_1 - 2x_2)^2$

(i)  $\mathbf{x}^1 = \begin{pmatrix} 0 \\ 3 \end{pmatrix}$

(ii)  $\mathbf{x}^2 = \begin{pmatrix} -1 \\ -1 \end{pmatrix}$

\*  $f_2(\mathbf{x}) = 100(x_2 - x_1^2)^2 + (1 - x_1)^2$

(i)  $\mathbf{x}^1 = \begin{pmatrix} -1, 9 \\ 2 \end{pmatrix}$

(ii)  $\mathbf{x}^2 = \begin{pmatrix} 1, 2 \\ 1 \end{pmatrix}$

\*  $f_7(\mathbf{x}) = 0,1 \left( 12 + x_1^2 + \frac{1 + x_2^2}{x_1^2} + \frac{x_1^2 x_2^2 + 100}{x_1^4 x_2^4} \right)$

(i)  $\mathbf{x}^1 = \begin{pmatrix} 0, 5 \\ 0, 5 \end{pmatrix}$

(ii)  $\mathbf{x}^2 = \begin{pmatrix} 3 \\ 3 \end{pmatrix}$

\*  $f_8(\mathbf{x}) = (x_1^2 + x_2^2 + x_1 x_2)^2 + \text{sen}^2(x_1) + \text{cos}^2(x_2)$

(i)  $\mathbf{x}^1 = \begin{pmatrix} 3 \\ 0, 1 \end{pmatrix}$

(ii)  $\mathbf{x}^2 = \begin{pmatrix} 2 \\ -2 \end{pmatrix}$

\*  $f_9(\mathbf{x}) = 1,41x_1^4 - 12,76x_1^3 + 39,91x_1^2 - 51,93x_1 + 24,37 + (x_2 - 3,9)^2$

(i)  $\mathbf{x}^1 = \begin{pmatrix} 0 \\ 0 \end{pmatrix}$

(ii)  $\mathbf{x}^2 = \begin{pmatrix} 5 \\ 5 \end{pmatrix}$

Em todos os métodos implementados foi utilizado os seguintes parâmetros:

\*  $\text{tol} = 10^{-04}$  (precisão)

\*  $\text{nmax} = 1000$  (número máximo de iterações)

Tabela 1: Dados utilizados nos testes

Função	Vetor gradiente	Pontos iniciais	Matrizes hessianas
f1	df1	f1x1 e f1x2	H1 e H2
f2	df2	f2x1 e f2x2	H3 e H4
f7	df7	f7x1 e f7x2	H5 e H6
f8	df8	f8x1 e f8x2	H7 e H8
f9	df9	f9x1 e f9x2	H9 e H10

### 3.3 Método da Máxima Descida

Tabela 2: Resultados dos testes utilizando o como ponto inicial  $\mathbf{x}^1$ 

Função	Nº de iterações	xmin	fval
1	591	[2.0653 1.0327]	1.8196e-05
2	1000	[-1.1461 1.3214]	4.6119
7	1000	[0.5000 0.5000]	2563.3
8	145	[0.1557 -0.6948]	0.7732
9	63	[3.4827 3.8996]	-3.9872

Tabela 3: Resultados dos testes utilizando o como ponto inicial  $\mathbf{x}^2$ 

Função	Nº de iterações	xmin	fval
1	1000	[1.9067 0.9532]	7.6031e-05
2	1000	[1.0247 1.0501]	6.1060e-04
7	1000	[2.3933 2.9205]	1.9454
8	12	[-0.1552 0.6944]	0.7732
9	238	[3.4827 3.9005]	-3.9872

### 3.4 Método de Newton

Tabela 4: Resultados dos testes utilizando como ponto inicial  $\mathbf{x}^1$ 

Função	Nº de iterações	xmin	fval
1	1000	[1.6920 0.8460]	8.9998e-03
2	1000	[-1.8787 3.4509]	8.9029
7	1000	[0.4290 0.5892]	2453.9
8	1000	[0.5876 0.2610]	1.5619
9	559	[1.3476 3.9000]	0.2896

Tabela 5: Resultados dos testes utilizando como ponto inicial  $\mathbf{x}^2$ 

Função	Nº de iterações	xmin	fval
1	1000	[1.1743 0.5872]	0.4648
2	1000	[1.1757 1.3821]	0.030864
7	4	[NaN NaN]	NaN
8	300	[0.1629 -0.7013]	0.7733
9	1000	[3.5301 3.9000]	-3.9657

### 3.5 Método Quasi-Newton

Tabela 6: Resultados dos testes utilizando como ponto inicial  $\mathbf{x}^1$

Função	Nº de iterações	xmin	fval
1	328	[1.9973 0.9987]	5.1919e-11
2	1000	[-1.7398 2.9492]	8.1099
7	1000	[0.5231 0.5191]	1841.3
8	490	[-0.1545 0.6947]	0.7732
9	132	[1.3578 3.8996]	0.2892

Tabela 7: Resultados dos testes utilizando como ponto inicial  $\mathbf{x}^2$

Função	Nº de iterações	xmin	fval
1	1000	[1.9931 0.9965]	2.3060e-09
2	862	[1.0005 1.0009]	2.2472e-07
7	1000	[-21.827 -28.870]	49.018
8	60	[0.1559 -0.6954]	0.7732
9	538	[3.4837 3.9002]	-3.9872

### 3.6 Método do Gradiente Conjugado

#### 3.6.1 Método de Fletcher-Reeves

Tabela 8: Resultados dos testes utilizando como ponto inicial  $\mathbf{x}^1$

Função	Nº de iterações	xmin	fval
1	231	[2.0582 1.0292]	1.1538e-05
2	1000	[1.6213 2.6307]	0.3864
7	22	[NaN NaN]	NaN
8	12	[0.1557 -0.6948]	0.7732
9	36	[3.4827 3.8996]	-3.9872

Tabela 9: Resultados dos testes utilizando como ponto inicial  $\mathbf{x}^2$

Função	Nº de iterações	xmin	fval
1	234	[1.9418 0.9709]	1.1481e-05
2	1000	[1.1796 1.3925]	0.032364
7	1000	[1.7436 2.5720]	1.7842
8	9	[-0.1552 0.6944]	0.7732
9	30	[3.4827 3.9003]	-3.9872

### 3.6.2 Método de Polak-Ribière

Tabela 10: Resultados dos testes utilizando como ponto inicial  $\mathbf{x}^1$

Função	Nº de iterações	xmin	fval
1	231	[2.0581 1.0292]	1.1438e-05
2	1000	[1.5796 2.4962]	0.3361
7	3	[NaN NaN]	NaN
8	10	[0.1556 -0.6946]	0.7732
9	37	[3.4827 3.8996]	-3.9872

Tabela 11: Resultados dos testes utilizando como ponto inicial  $\mathbf{x}^2$

Função	Nº de iterações	xmin	fval
1	232	[1.9417 0.9709]	1.1559e-05
2	491	[1.0011 1.0021]	1.1306e-06
7	1000	[-1.8210 3.0410]	1.8545
8	6	[-0.1553 0.6945]	0.7732
9	33	[3.4827 3.9003]	-3.9872

### 3.7 Método da Região de Confiança

Para este método foi utilizado os seguintes parâmetros:

\*  $\Delta_0 = 1$

\*  $\eta = \frac{1}{8}$

Tabela 12: Resultados dos testes utilizando como ponto inicial  $\mathbf{x}^1$

Função	Nº de iterações	xmin	fval
1	1000	[1.9229 0.9614]	3.5421e-05
2	1000	[-5.2120e-02 4.0153e-03]	1.1071
7	1000	[1.0065 1.0193]	10.624
8	239	[-0.1552 0.6946]	0.7732
9	134	[1.3586 3.9000]	0.2891

Tabela 13: Resultados dos testes utilizando como ponto inicial  $\mathbf{x}^2$

Função	Nº de iterações	xmin	fval
1	1000	[1.8843 0.9421]	1.7948e-04
2	666	[1.0003 1.0005]	7.4737e-08
7	1000	[3 3]	2.2139
8	75	[0.1557 -0.6948]	0.7732
9	55	[3.4827 3.9000]	-3.9872

## Referências

- [1] [https://pt.wikibooks.org/wiki/Otimiza%C3%A7%C3%A3o/M%C3%A9todos\\_de\\_regi%C3%A3o\\_de\\_confian%C3%A7a](https://pt.wikibooks.org/wiki/Otimiza%C3%A7%C3%A3o/M%C3%A9todos_de_regi%C3%A3o_de_confian%C3%A7a)
- [2] John W. Eaton, David Bateman, Søren Hauberg, Rik Wehbring (2020). GNU Octave version 6.1.0 manual: a high-level interactive language for numerical computations. <https://www.gnu.org/software/octave/doc/v6.1.0/>
- [3] <https://www.ime.unicamp.br/~sandra/MS629/handouts/livro28jul.pdf>
- [4] <https://www.ime.unicamp.br/~friedlan/livro.pdf>
- [5] Nonlinear Programming - M. S. Bazaraa & C. M. Shetty - John Wiley & Sons, 1979.